

## 高比表面积 $\alpha$ -AlF<sub>3</sub> 的制备和表征

于洪波 王月娟 彭小波 朱琳 罗孟飞<sup>\*1</sup>

(浙江师范大学物理化学研究所,先进催化材料省部共建教育部重点实验室,金华 321004)

**摘要:**采用炭硬模板法制备了高比表面积的  $\alpha$ -AlF<sub>3</sub>(HS- $\alpha$ -AlF<sub>3</sub>)。首先,将一定浓度的蔗糖溶液浸渍到  $\gamma$ -Al<sub>2</sub>O<sub>3</sub> 中,然后经过热处理,使得蔗糖分解为炭。其次,将含炭的  $\gamma$ -Al<sub>2</sub>O<sub>3</sub> 固体用 HF 气体进行氟化。最后,再利用燃烧法除去炭硬模板。采用 XRD、低温氮吸附-脱附、NH<sub>3</sub>-TPD、SEM-EDX 等技术对样品进行了表征。结果表明,当炭化温度为 450 ℃时,HF-N<sub>2</sub> 混合气体积比为 1:4,除碳温度为 425 ℃时,制得的  $\alpha$ -AlF<sub>3</sub> 比表面积最大,为 66 m<sup>2</sup>·g<sup>-1</sup>。此外,HS- $\alpha$ -AlF<sub>3</sub> 催化剂对 CCl<sub>2</sub>F<sub>2</sub> 歧化反应的催化活性也明显高于常规方法制备的低比表面积的  $\alpha$ -AlF<sub>3</sub>,这是因为高比表面积的  $\alpha$ -AlF<sub>3</sub> 催化剂具有较大的酸量。

**关键词:**  $\alpha$ -AlF<sub>3</sub>; 高比表面积; 炭硬模板; CCl<sub>2</sub>F<sub>2</sub> 歧化反应

中图分类号: O614.3<sup>+1</sup> 文献标识码: A 文章编号: 1001-4861(2012)05-0905-05

## Preparation and Characterization of High Surface Area $\alpha$ -AlF<sub>3</sub>

YU Hong-Bo WANG Yue-Juan PENG Xiao-Bo ZHU Lin LUO Meng-Fei<sup>\*1</sup>

(Zhejiang Key Lab Key Laboratory of the Ministry of Education for Advanced Catalysis Materials,  
Institute of Physical Chemistry, Zhejiang Normal University, Jinhua, Zhejiang 321004, China)

**Abstract:** High surface area  $\alpha$ -AlF<sub>3</sub> (HS- $\alpha$ -AlF<sub>3</sub>) has been prepared by a carbon hard template method. The synthesis procedure consisted of three steps: (1) the impregnation of a sucrose (C<sub>12</sub>H<sub>22</sub>O<sub>11</sub>) aqueous solution with  $\gamma$ -Al<sub>2</sub>O<sub>3</sub> and subsequent thermal treatment; (2) the thermal treatment of the obtained solid with HF; (3) the removal of the carbon template in C@ $\alpha$ -AlF<sub>3</sub> upon high temperature combustion. The optimal conditions for the highest surface area of the synthesized  $\alpha$ -AlF<sub>3</sub> (66 m<sup>2</sup>·g<sup>-1</sup>) are obtained based on the results from XRD, low temperature adsorption-desorption, ammonia temperature programmed desorption (NH<sub>3</sub>-TPD), SEM, EDX and the FTIR spectra of pyridine adsorption. The temperatures for fluorination, carbon calcinations and carbon removal are 400, 450 and 425 ℃, respectively, and the HF/N<sub>2</sub> volume ratio is 1:4. In addition, the HS- $\alpha$ -AlF<sub>3</sub> catalyst is more active for the dismutation of CCl<sub>2</sub>F<sub>2</sub> than the catalyst prepared by a direct fluorination of the  $\gamma$ -Al<sub>2</sub>O<sub>3</sub> due to its higher amount of acid sites.

**Key words:**  $\alpha$ -AlF<sub>3</sub>; surface area; carbon hard template; dismutation of CCl<sub>2</sub>F<sub>2</sub>

氟化铝表面具有 Lewis 酸中心,广泛用作多相氟氯交换反应的催化剂或载体<sup>[1-3]</sup>。在氟氯烃及其替代品的气固相合成中,氟化铝催化剂起了重要作用。此外,还用于电解制铝、抗腐蚀光学玻璃等领域。

据报道,氟化铝晶体具有  $\alpha$ 、 $\beta$ 、 $\gamma$ <sup>[4-7]</sup> 等多种晶型。其中  $\beta$ -AlF<sub>3</sub> 具有较高的比表面积<sup>[8-9]</sup>,用作催化剂或

载体。然而, $\beta$ -AlF<sub>3</sub> 在高温下容易转化为低比表面积且更加稳定的  $\alpha$ -AlF<sub>3</sub>,由于比表面积的下降影响催化性能<sup>[10]</sup>。因此,制备高比表面积  $\alpha$ -AlF<sub>3</sub>,对于提高催化剂的活性和稳定性具有重要的意义。

通常, $\alpha$ -AlF<sub>3</sub> 通过  $\gamma$ -Al<sub>2</sub>O<sub>3</sub> 与氟化氢(HF)、氢氟氯烃(HCFCs)或氯氟烃(CFCs)反应来合成。例如:吕

收稿日期:2011-08-23。收修改稿日期:2011-12-27。

浙江省自然科学基金(No.Y4100001)资助项目。

\*通讯联系人。E-mail:mengfeiluo@zjnu.cn

剑等<sup>[11]</sup>利用氟化氢气体直接氟化氧化铝制备出比表面积为  $10 \text{ m}^2 \cdot \text{g}^{-1}$  的  $\alpha\text{-AlF}_3$ ; Skapin 等<sup>[12]</sup>采用  $\text{CHF}_3$  氟化高比表面积  $\gamma\text{-Al}_2\text{O}_3$  的方法, 制备出  $\alpha\text{-AlF}_3$  的比表面积为  $22 \text{ m}^2 \cdot \text{g}^{-1}$ 。可见, 以上这些方法合成的  $\alpha\text{-AlF}_3$ , 其比表面积比较低, 只有  $10\sim30 \text{ m}^2 \cdot \text{g}^{-1}$ 。近几年, 一些新的合成  $\text{AlF}_3$  的方法逐渐发展起来。例如: Alonso 等<sup>[13]</sup>采用高温煅烧  $\beta\text{-AlF}_3 \cdot \text{H}_2\text{O}$  的方法, 制备了比表面积为  $123 \text{ m}^2 \cdot \text{g}^{-1}$  的  $\alpha\text{-AlF}_3$ , 但是此方法所需原料为  $\beta\text{-AlF}_3 \cdot \text{H}_2\text{O}$ , 生产成本高, 不利于工业化生产。

因此, 寻找简易和低成本的高比表面积  $\alpha\text{-AlF}_3$  的合成路线, 非常具有实用价值。本文利用炭硬模板保护, 将  $\gamma\text{-Al}_2\text{O}_3$  直接气相氟化为高比表面积的  $\alpha\text{-AlF}_3$ 。

## 1 实验部分

### 1.1 催化剂的制备

高比表面积  $\alpha\text{-AlF}_3$ (HS- $\alpha\text{-AlF}_3$ )采用炭硬模板法制备。首先在  $10 \text{ g}$   $\gamma\text{-Al}_2\text{O}_3$ ( $S_{\text{BET}}=350 \text{ m}^2 \cdot \text{g}^{-1}$ , 孔容为  $0.45 \text{ cm}^3 \cdot \text{g}^{-1}$ ,  $20\sim40$  目( $420\sim841 \mu\text{m}$ ))中加入  $11.5 \text{ mL}$  质量分数为  $40\%$  的蔗糖溶液进行等体积浸渍, 浸渍  $5 \text{ h}$  后于  $120^\circ\text{C}$  下炒干, 然后分别在  $300$ 、 $400$ 、 $450$ 、 $500^\circ\text{C}$  下  $\text{N}_2$  气氛保护下焙烧  $3 \text{ h}$ , 使得蔗糖碳化。再将含炭的  $\gamma\text{-Al}_2\text{O}_3$  进行重复  $2$  次浸渍蔗糖溶液、干燥和焙烧, 得到含炭的  $\gamma\text{-Al}_2\text{O}_3$ , 命名为  $\text{C}@\gamma\text{-Al}_2\text{O}_3$ 。然后, 将  $\text{C}@\gamma\text{-Al}_2\text{O}_3$  放入反应器中, 通入  $\text{HF-N}_2$  混合气( $\text{HF:N}_2$  体积比为  $1:1$ 、 $1:4$  和  $1:10$ ), 在  $400^\circ\text{C}$  温度下氟化  $10 \text{ h}$ , 得到的样品命名为  $\text{C}@\alpha\text{-AlF}_3$ 。最后将质量分数为  $5\%$  的硝酸钾溶液等体积浸渍到  $\text{C}@\alpha\text{-AlF}_3$  中, 浸渍  $2 \text{ h}$  后于  $120^\circ\text{C}$  下干燥, 干燥后的样品分别在  $400$ 、 $425$ 、 $450^\circ\text{C}$  下  $\text{O}_2$  气氛下焙烧  $8 \text{ h}$  除掉炭模板, 然后在室温下经水洗,  $120^\circ\text{C}$  干燥  $5 \text{ h}$  后得到 HS- $\alpha\text{-AlF}_3$ 。

$\alpha\text{-AlF}_3$  是直接采用气相氟化  $\gamma\text{-Al}_2\text{O}_3$  得到的。将  $10 \text{ g}$   $\gamma\text{-Al}_2\text{O}_3$  载入反应器中, 通入  $\text{HF-N}_2$  混合气( $1:4$ ,  $V/V$ )在  $400^\circ\text{C}$  温度下处理  $8 \text{ h}$ , 制得  $\alpha\text{-AlF}_3$ (比表面积:  $17 \text{ m}^2 \cdot \text{g}^{-1}$ )。

### 1.2 催化剂的表征

$\text{N}_2$  吸附-脱附实验在美国 Quantachrome 公司的 Autosorb-1 型  $\text{N}_2$  物理吸附仪上进行, 采用 BET 公式计算样品的比表面积。

X 射线粉末衍射实验(XRD)在 PANalytical 公司的 X' Pert PRO MPD 型 X 射线衍射仪上进行。以

$\text{Cu K}\alpha$  为射线源, 石墨单色器滤光, 管电压为  $40 \text{ kV}$ , 管电流为  $40 \text{ mA}$ , 波长为  $0.15418 \text{ nm}$ , 步长  $0.03^\circ$ , 扫描范围  $10^\circ\sim90^\circ$ 。采集速度是  $0.15^\circ \cdot \text{s}^{-1}$ , 停留时间  $8 \text{ s}$ , 所有 XRD 测试均在静态空气气氛下进行。

$\text{NH}_3$  程序升温( $\text{NH}_3\text{-TPD}$ )实验是在自制的装置上进行。催化剂在  $\text{N}_2$  气氛下  $350^\circ\text{C}$  预处理  $1 \text{ h}$ , 然后冷却至  $50^\circ\text{C}$ , 吸附  $\text{NH}_3$  饱和后, 经  $\text{N}_2$  在  $100^\circ\text{C}$  下吹扫  $1.5 \text{ h}$ , 以除去物理吸附的  $\text{NH}_3$ 。然后利用热导检测器(TCD)来检测升温过程  $\text{NH}_3$  质量分数的变化。色谱类型为 GC7890 II, 色谱柱为不锈钢柱(填料为  $4\text{A}$  分子筛), 规格( $6 \text{ mm} \times 12 \text{ m}$ ), 进样口温度为  $80^\circ\text{C}$ , 进样方式为不分流, 检测器为 TCD, 检测器温度为  $80^\circ\text{C}$ , 柱箱温度为恒温  $70^\circ\text{C}$ , 采用氮气作为载气, 流量为  $20 \text{ mL} \cdot \text{min}^{-1}$ , 氨气的流量为  $10 \text{ mL} \cdot \text{min}^{-1}$ 。

吡啶-FTIR 实验利用 Nicolet NEXUS 670 分光计, 扫描范围  $1800\sim1400 \text{ cm}^{-1}$ 。催化剂先在  $100^\circ\text{C}$  下干燥  $1 \text{ h}$ , 冷却后与吡啶直接接触  $15 \text{ min}$ , 然后该样品在  $120^\circ\text{C}$  下热处理  $1 \text{ h}$  以除去物理吸附的吡啶, 冷至室温后在  $1800\sim1400 \text{ cm}^{-1}$  范围内进行 FTIR 采谱, 分辨率  $4 \text{ cm}^{-1}$ , 并用 KBr 扣除背景。

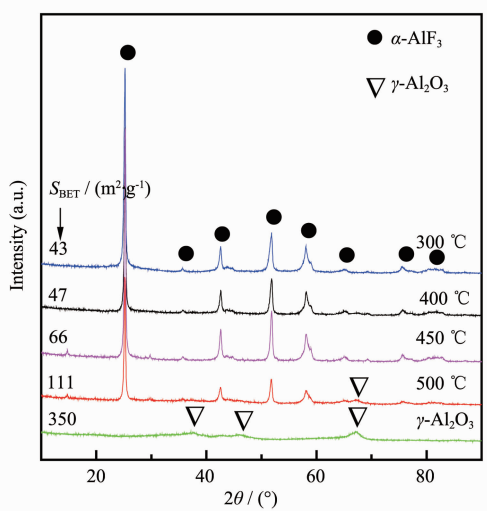
催化剂氟化前后表面形貌和元素分析采用日本的 Hitachi4800 型扫描电子显微镜(SEM-EDX)检测, 检测条件为高加速电压为  $15 \text{ kV}$ , 样品间距为  $15 \text{ mm}$  样品喷金后进行测试。

样品中 Al、F 和 K 含量是通过 Thermo ARL ADVANTX Intelli Power 4200 X 射线荧光光谱仪(XRF)测到, 数据用 UNIQUANT 无标准样品定量分析软件分析得到。

## 2 结果与讨论

### 2.1 制备条件的影响

图 1 是不同碳化温度制得的 HS- $\alpha\text{-AlF}_3$  样品的 XRD 图和比表面积数据。从图 1 可以看出, 当碳化温度不大于  $450^\circ\text{C}$  时, 只观察到较强的  $\alpha\text{-AlF}_3$  的衍射峰, 没有  $\gamma\text{-Al}_2\text{O}_3$  的衍射峰出现, 表明  $\gamma\text{-Al}_2\text{O}_3$  已完全转化为  $\alpha\text{-AlF}_3$ 。但是, 随着碳化温度的逐渐升高,  $\gamma\text{-Al}_2\text{O}_3$  的衍射峰越来越明显。当碳化温度升高到  $500^\circ\text{C}$  时, 在  $67.2^\circ$  处可以清晰地观察到  $\gamma\text{-Al}_2\text{O}_3$  衍射峰的存在。这表明高温碳化使得  $\gamma\text{-Al}_2\text{O}_3$  难以被完全氟化, 这归因于碳化温度过高, 使得镶嵌在  $\gamma\text{-Al}_2\text{O}_3$  孔道中的炭硬模板剂过于牢固, 阻止了 HF 与  $\gamma\text{-Al}_2\text{O}_3$  的有效接触, 最终导致  $\gamma\text{-Al}_2\text{O}_3$  难于转化为  $\alpha\text{-AlF}_3$ 。从图 1 中还可以看出, 样品的比表面积随着碳



Fluorination temperature is 400 °C; the temperature for removal of carbon is 425 °C; HF:N<sub>2</sub> volume ratio is 1:4

图 1 不同碳化温度制得的 HS- $\alpha$ -AlF<sub>3</sub> 样品的 XRD 图和比表面积

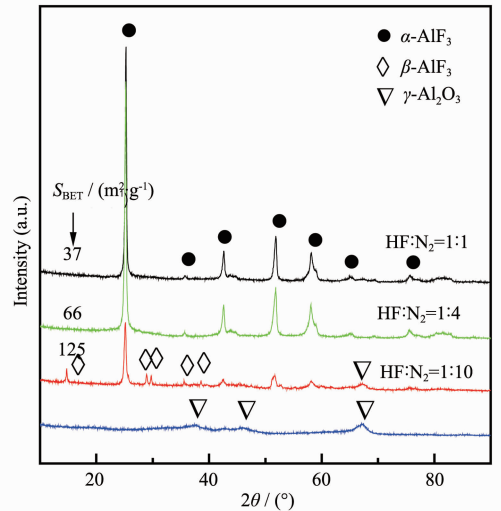
Fig.1 XRD patterns and specific surface area of HS- $\alpha$ -AlF<sub>3</sub> samples calcined at different temperatures

化温度的升高而逐渐增大。当碳化温度高于 450 °C 时,样品中的比表面积高达 111 m<sup>2</sup>·g<sup>-1</sup>,这是因为样品中含有未氟化的  $\gamma$ -Al<sub>2</sub>O<sub>3</sub>;当碳化温度为 450 °C 时, $\alpha$ -AlF<sub>3</sub> 的比表面积为 66 m<sup>2</sup>·g<sup>-1</sup>;当碳化温度低于 450 °C 时,由于氟化过程非常剧烈,炭粉在氧化铝孔道中镶嵌的不够牢固,削弱了炭硬模板的支撑作用,使得比表面积降低。因此,最佳的碳化温度为 450 °C。

图 2 为不同氟化氢浓度制得的 HS- $\alpha$ -AlF<sub>3</sub> 样品的 XRD 图和比表面积。从图 2 可以看出,当 HF 与 N<sub>2</sub> 的体积比为 1:10 时,绝大部分的  $\gamma$ -Al<sub>2</sub>O<sub>3</sub> 已经被氟化,但仍有少量明显的  $\gamma$ -Al<sub>2</sub>O<sub>3</sub> 衍射峰存在,并且伴随有少量  $\beta$ -AlF<sub>3</sub> 生成。这表明  $\gamma$ -Al<sub>2</sub>O<sub>3</sub> 不能够完全转化为纯相的  $\alpha$ -AlF<sub>3</sub>。随着混合气氛中 HF 与 N<sub>2</sub> 的比例的增大, $\gamma$ -Al<sub>2</sub>O<sub>3</sub> 衍射峰逐渐消失。当 HF 与 N<sub>2</sub> 的比例为 1:4 时, $\gamma$ -Al<sub>2</sub>O<sub>3</sub> 的衍射峰完全消失,此时获得的样品的比表面积达 66 m<sup>2</sup>·g<sup>-1</sup>。但是,当 HF 与 N<sub>2</sub> 的体积比继续增大到 1:1 时,样品的比表面积减小,这是由于氟化氢浓度过高,使得氟化反应过于剧烈,不利于高比表面积  $\alpha$ -AlF<sub>3</sub> 的形成。因此,HF 与 N<sub>2</sub> 的体积比为 1:4 时为最佳的氟化氢浓度。

图 3 是不同除炭温度制得的 HS- $\alpha$ -AlF<sub>3</sub> 的 XRD 图和比表面积。由于直接将炭模板剂燃烧需要 500 °C 以上的高温,但是 500 °C 以上的温度会引起  $\alpha$ -AlF<sub>3</sub> 烧结,进而导致比表面积大幅下降<sup>[14]</sup>,因此,除

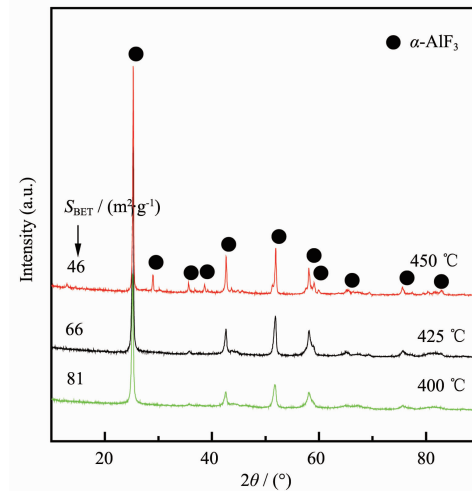
炭温度的选择对获得高比表面积的  $\alpha$ -AlF<sub>3</sub> 是非常重要的。而 KNO<sub>3</sub> 作为常用的助燃剂,能够促进炭黑的燃烧<sup>[15]</sup>。因此,在含炭的 C@ $\alpha$ -AlF<sub>3</sub> 中加入 KNO<sub>3</sub> 之后,有效地降低了样品的除炭温度。从图 3 可以看



Fluorination temperature is 400 °C; the temperature for calcination of carbon is 450 °C; the temperature for removal of carbon is 425 °C

图 2 不同氟化氢浓度制得的 HS- $\alpha$ -AlF<sub>3</sub> 的 XRD 图和比表面积

Fig.2 XRD patterns and specific surface area of HS- $\alpha$ -AlF<sub>3</sub> fluorinated at different HF concentrations



Fluorination temperature is 400 °C; the temperature for calcination of carbon is 450 °C; HF:N<sub>2</sub> volume ratio is 1:4

图 3 不同除炭温度制得的 HS- $\alpha$ -AlF<sub>3</sub> 的 XRD 图和比表面积

Fig.3 XRD patterns and specific surface area of HS- $\alpha$ -AlF<sub>3</sub> at different temperatures for removal of the carbon template

出,随着除炭温度的升高, $\alpha\text{-AlF}_3$ 的衍射峰在不断锐化。当除炭温度为400℃时,样品颜色呈灰色,这表明C@ $\alpha\text{-AlF}_3$ 中仍残留少量炭;随着除碳温度的逐渐升高,样品的颜色由灰色逐渐转变为白色。当除炭温度提高到425℃时,合成的白色的 $\alpha\text{-AlF}_3$ 的比表面积为 $66\text{ m}^2\cdot\text{g}^{-1}$ ,这表明样品经425℃焙烧后炭硬模板已经被去除,这与前文<sup>[16]</sup>报道的除碳温度是一致的。当除炭温度升高到450℃时,虽然能有效地将炭硬模板完全燃烧掉,但是由于温度过高,导致样品发生烧结,使得比表面积下降。因此,最佳的除炭温度为425℃。此外,对所合成的样品进行了XRF分析,结果表明F元素的质量含量为53.90%,Al元素的质量含量为37.88%,K元素的质量含量为0.1%,其中K的含量与样品中杂质的含量十分接近,说明K元素已经被除去。

## 2.2 HS- $\alpha\text{-AlF}_3$ 催化剂的表面酸性

图4是 $\alpha\text{-AlF}_3$ 样品的NH<sub>3</sub>-TPD图,从图中可以看出,HS- $\alpha\text{-AlF}_3$ 在287和548℃处有2个宽的NH<sub>3</sub>脱附峰。通过返滴定的方法,得到HS- $\alpha\text{-AlF}_3$ 表面酸中心数目为0.79 mmol·g<sup>-1</sup>。然而,直接采用无水氟化氢气相氟化 $\gamma\text{-Al}_2\text{O}_3$ 制备的 $\alpha\text{-AlF}_3$ ( $S_{\text{BET}}=17\text{ m}^2\cdot\text{g}^{-1}$ ),其酸中心数目仅为0.33 mmol·g<sup>-1</sup>。前者的酸量明显强于后者,这表明HS- $\alpha\text{-AlF}_3$ 具有更多的酸性位。这与Dambourne等<sup>[17]</sup>所报道的催化剂所具有的酸性位数量与其比表面积成正比例是一致的。图5是HS- $\alpha\text{-AlF}_3$ 样品吸附吡啶后的FTIR图谱。从图中可以看出,在1453和1629 cm<sup>-1</sup>处出现的2个红外振动峰,它们均归属于Lewis酸性中心<sup>[18-20]</sup>。这表明

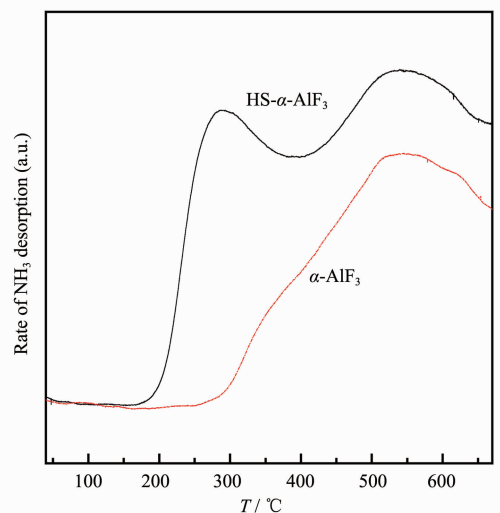


图4  $\alpha\text{-AlF}_3$ 样品的NH<sub>3</sub>-TPD图

Fig.4 NH<sub>3</sub>-TPD profiles of HS- $\alpha\text{-AlF}_3$  samples

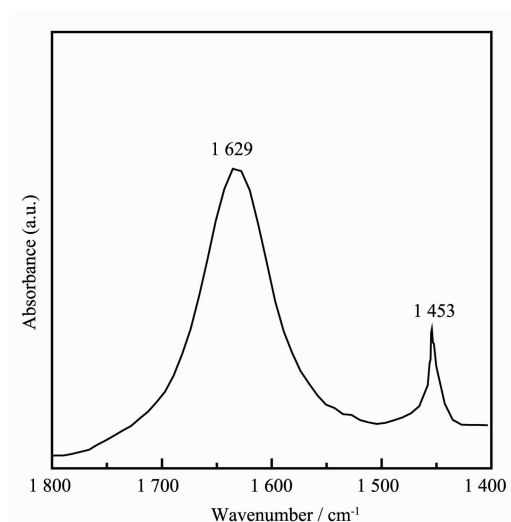


图5 HS- $\alpha\text{-AlF}_3$ 吸附吡啶后的FTIR图谱

Fig.5 FTIR spectrum of pyridine adsorption on HS- $\alpha\text{-AlF}_3$  sample

HS- $\alpha\text{-AlF}_3$ 样品表面主要是Lewis酸性中心。

## 2.3 HS- $\alpha\text{-AlF}_3$ 催化剂的形貌和组成分析

图6是HS- $\alpha\text{-AlF}_3$ 样品的SEM和EDX分析图谱。从图6的SEM图中可以看出,合成的样品呈无序的絮状结构。从EDX分析图谱中可以看出,Al和F的峰面积百分数分别为23.62%和74.1%,即Al/F原子比接近于3,这表明 $\gamma\text{-Al}_2\text{O}_3$ 已经完全转化成 $\alpha\text{-AlF}_3$ 。

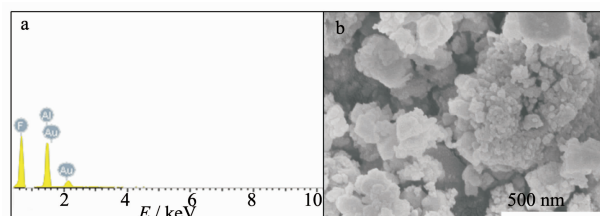


图6 HS- $\alpha\text{-AlF}_3$ 的EDX(a)分析图谱和SEM图(b)

Fig.6 EDX spectra (a) and SEM image (b) of the HS- $\alpha\text{-AlF}_3$  catalyst

## 2.4 HS- $\alpha\text{-AlF}_3$ 催化剂催化CCl<sub>2</sub>F<sub>2</sub>歧化反应的性能

图7为 $\alpha\text{-AlF}_3$ 催化CCl<sub>2</sub>F<sub>2</sub>歧化反应( $5\text{CCl}_2\text{F}_2 \rightarrow 3\text{CClF}_3 + \text{CCl}_3\text{F} + \text{CCl}_4$ )的转化率与反应温度的关系图。从图中可以看出,在相同的反应温度下,HS- $\alpha\text{-AlF}_3$ 催化活性明显高于常规方法制备的低比表面积 $\alpha\text{-AlF}_3$ ,这种差距在低温时更为明显。这是由于歧化反应的活性取决于催化剂的酸强度和酸量的大小<sup>[21-22]</sup>,HS- $\alpha\text{-AlF}_3$ 催化剂由于具有高的比表面积,因而具有较高的酸强度和较多的酸量(NH<sub>3</sub>-TPD表征得出)。此外,反应前后HS- $\alpha\text{-AlF}_3$ 催化剂的比表面积几

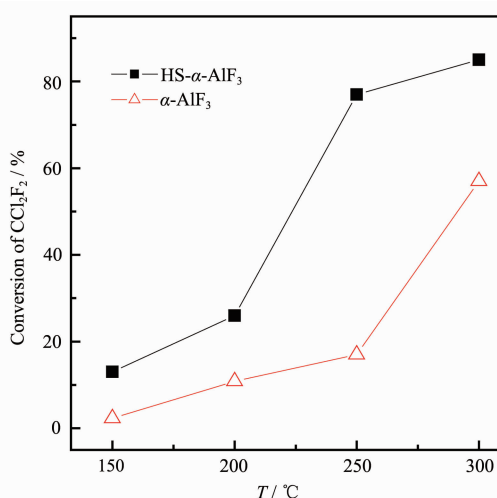


图 7  $\alpha$ -AlF<sub>3</sub> 催化剂的 CCl<sub>2</sub>F<sub>2</sub> 歧化反应转化率与反应温度的关系图

Fig.7 Conversion of CCl<sub>2</sub>F<sub>2</sub> as a function of reaction temperature over  $\alpha$ -AlF<sub>3</sub> catalysts

乎没有发生变化,这表明 HS- $\alpha$ -AlF<sub>3</sub> 具有很高的热稳定性。

### 3 结 论

采用炭硬模板法制备了高比表面积的  $\alpha$ -AlF<sub>3</sub> ( $66 \text{ m}^2 \cdot \text{g}^{-1}$ )。HS- $\alpha$ -AlF<sub>3</sub> 对 CCl<sub>2</sub>F<sub>2</sub> 歧化反应的催化活性明显高于常规方法制备的低比表面积  $\alpha$ -AlF<sub>3</sub>, 这归因于 HS- $\alpha$ -AlF<sub>3</sub> 具有较强的 Lewis 酸性中心和较多的酸量, 这些因素对卤素交换反应具有重要的作用。

### 参考文献:

- [1] Grohmann I, Hess A, Kemnitz E, et al. *J. Mater. Chem.*, **1998**,**8**:1453-1457
- [2] Boese O, Wolfgang E S, Kemnitz E, et al. *Phys. Chem. Chem. Phys.*, **2002**,**4**:2824-2832
- [3] Skapin T, Tavcar G, Bencan A, et al. *J. Fluor. Chem.*, **2009**, **130**:086-1092
- [4] Daniel P, Bulou A, Rousseau M, et al. *J. Phys.: Condens. Matter.*, **1990**,**2**:5663-5677
- [5] Fourquet J L, Riviere M, Bail A Le, et al. *Eur. J. Solid State Inorg. Chem.*, **1988**,**25**:535-540
- [6] Bail A Le, Jacoboni C, Leblanc M, et al. *J. Solid State Chem.*, **1988**,**77**:96-101
- [7] Herron N, Thorn D L, Harlow R L, et al. *Chem. Mater.*, **1995**, **7**:75-83
- [8] Kemnitz E, Gross U, Rüdiger S, et al. *Angew. Chem. Int. Ed.*, **2003**,**42**:4251-4254
- [9] Ruediger S K, Groß U, Feist M, et al. *J. Mater. Chem.*, **2005**, **15**:588-597
- [10] Cho D H, Kim Y G, Chung J S. *Catal. Lett.*, **1998**,**53**:199-203
- [11] Lu J, Shi L, Yang H E, et al. *Chin. J. Catal.*, **1996**,**17**:459-461
- [12] Skapin T, Kemnitz E. *Catal. Lett.*, **1996**,**40**:241-247
- [13] Alonso C, Morato A, Guirado F, et al. *Chem. Mater.*, **2000**, **12**:1148-1155
- [14] LÜ Jian(吕剑), SHI Lei(石磊), YANG Hui-E(杨会娥), et al. *Chinese J. Catal.(Cuihua Xuebao)*, **1996**,**17**(5):459-461
- [15] Skapin T, Kemnitz E. *Catal. Lett.*, **1996**,**40**:241-247
- [16] Alonso C, Morato A, Guirado F, et al. *Chem. Mater.*, **2000**, **12**:1148-1155
- [17] LÜ Jian(吕剑), QUAN Heng-Dao(权恒道), LI Hui-Fang(李惠芳), et al. *CN1145275*
- [18] Fang P, Lu J Q, Jia A P, et al. *Acta Phys. Chim. Sin.*, **2007**, **23**:1275-1280
- [19] Jia W Z, Lu J Q, Luo M F, et al. *J. Mater. Chem.*, **2011**,**21**:8987-8990
- [20] Dambournet D, Eltanamy G, Vimont A, et al. *Chem. Eur. J.*, **2008**,**14**:6205-6212
- [21] Kleist W, Haeßner C, Storchova O, et al. *Inorg. Chim. Acta*, **2006**,**359**:4851-4854
- [22] Eltanamy G, Rüdiger S, Kemnitz E. *J. Mater. Chem.*, **2008**, **18**:2268-2275
- [23] Winfield John M. *J. Fluorine Chem.*, **2009**,**130**:1069-1079
- [24] Kemnitz E, Zhu Y, Adamczyk B. *J. Fluorine Chem.*, **2002**, **114**:163-170
- [25] Eltanamy G, Rüdiger S, Kemnitz E. *J. Mater. Chem.*, **2008**, **18**:2268-2275